

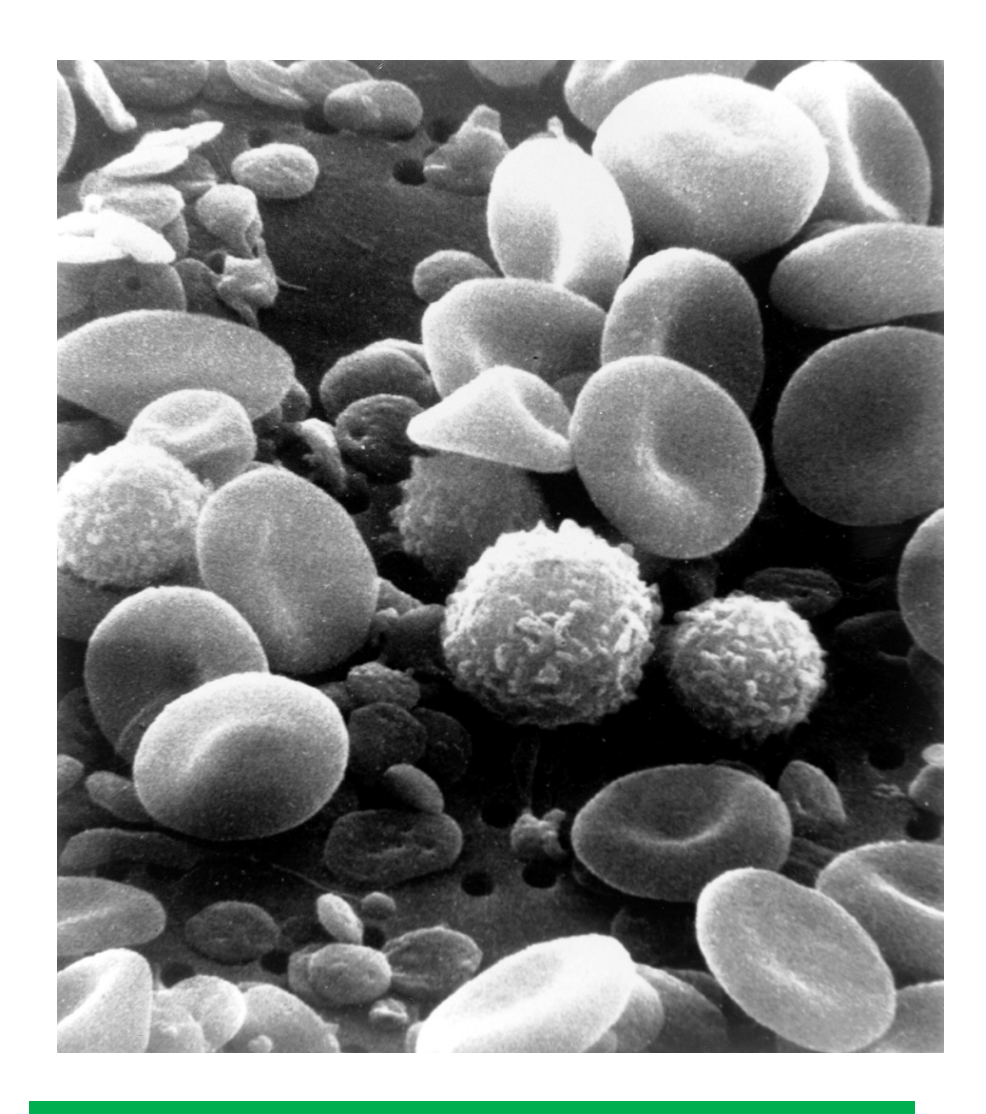
# Компьютерная модель адгезии нейтрофилов и тромбоцитов к воспаленному эндотелию микрососуда

А.В. Беляев

ст.н.с., кафедра биофизики, Физический факультет МГУ им. М.В. Ломоносова

XVII конференция «Математические модели и численные методы в биологии и медицине»

Москва, 17 октября 2025



"SEM blood cells" by Bruce Wetzel (photographer). Harry Schaefer (photographer) - Image and description: National Cancer Institute. Licensed under Public Domain via Wikimedia Commons

#### Кровь

→ Эритроциты (RBCs) = 8 мкм

Лейкоциты = 10-12 мкм

Тромбоциты = 2-3 мкм

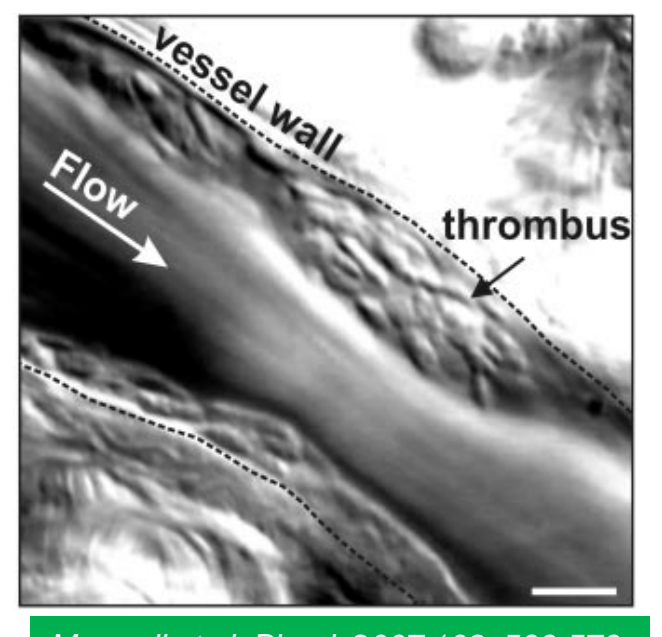
> Плазма: вязкая ньютоновская жидкость

Форменные элементы

Сплошная среда

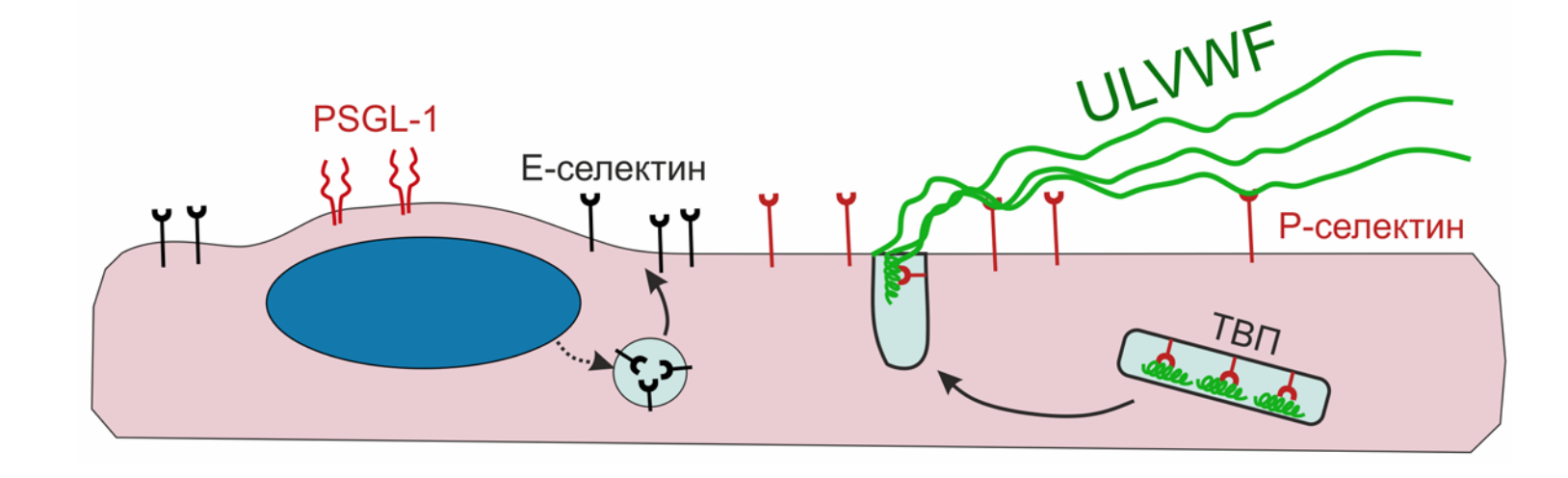
#### Тромбоз (триада Вирхова):

- 1. Повреждение стенки сосуда.
- 2. Замедление кровотока.
- 3. Гиперкоагуляция плазмы.



Maxwell et al. Blood, 2007 109: 566-576

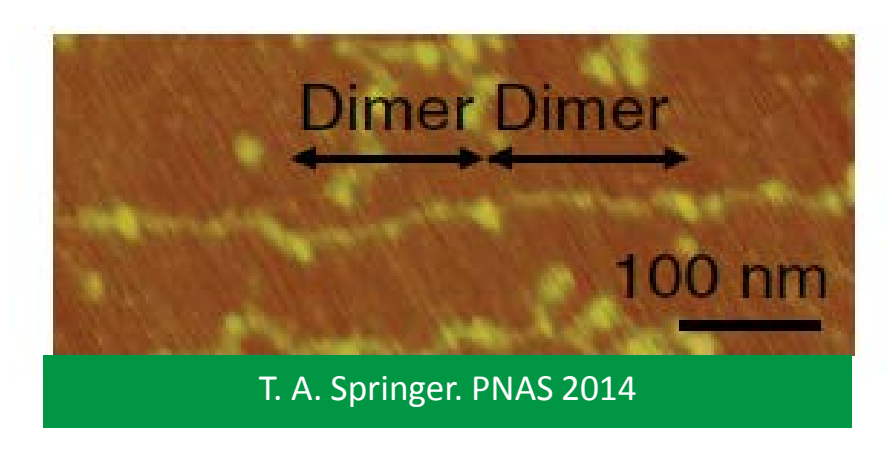
#### Тромбовоспаление



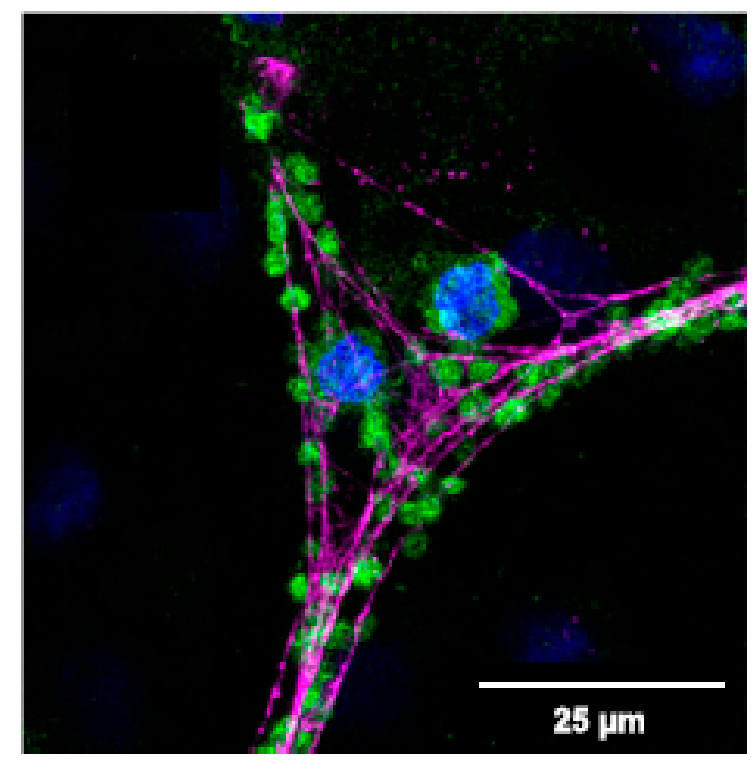
Агрегация тромбоцитов



Фактор фон Виллебранда (VWF)

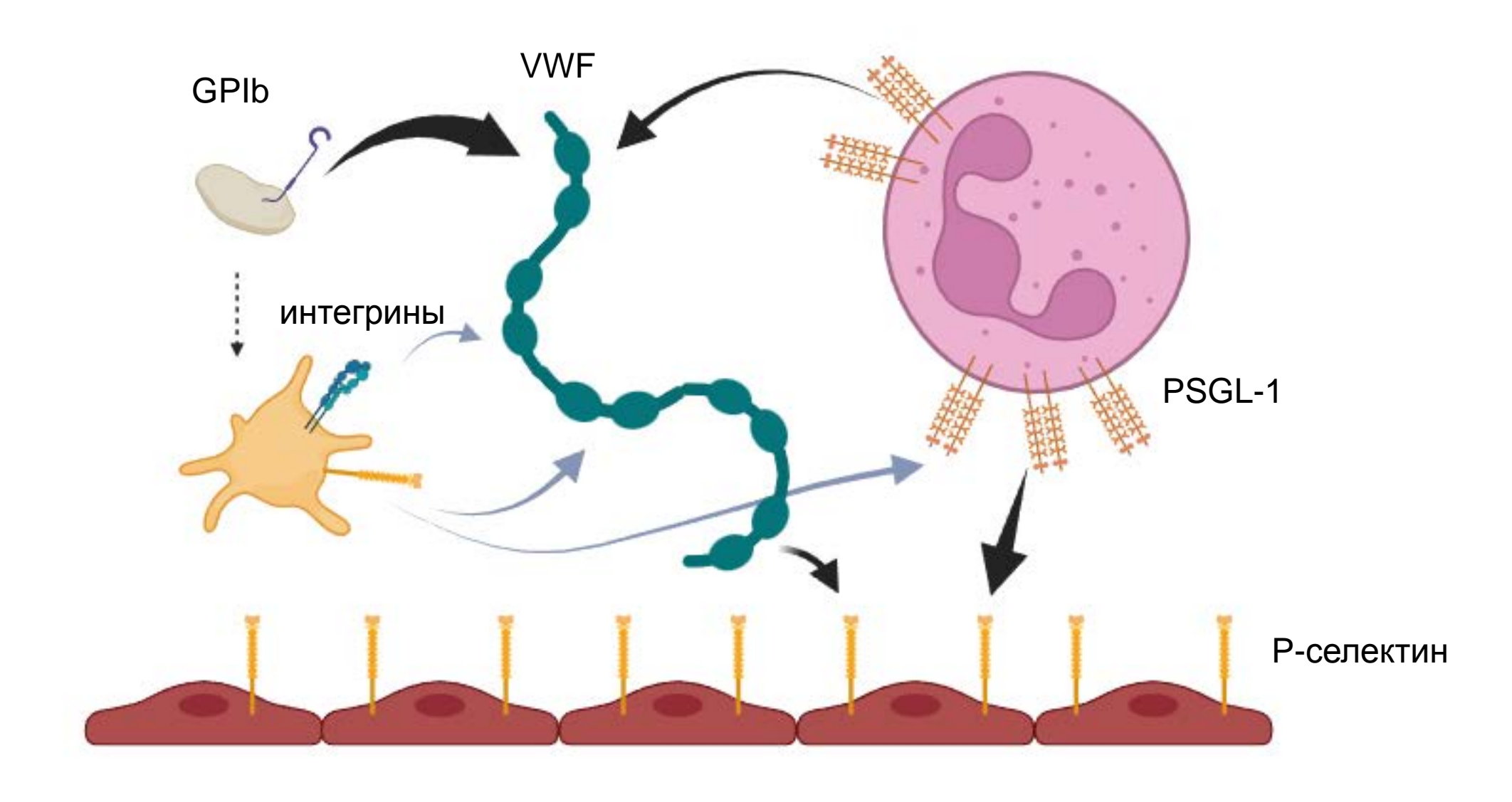


Привлечение лейкоцитов (моноцитов и нейтрофилов)



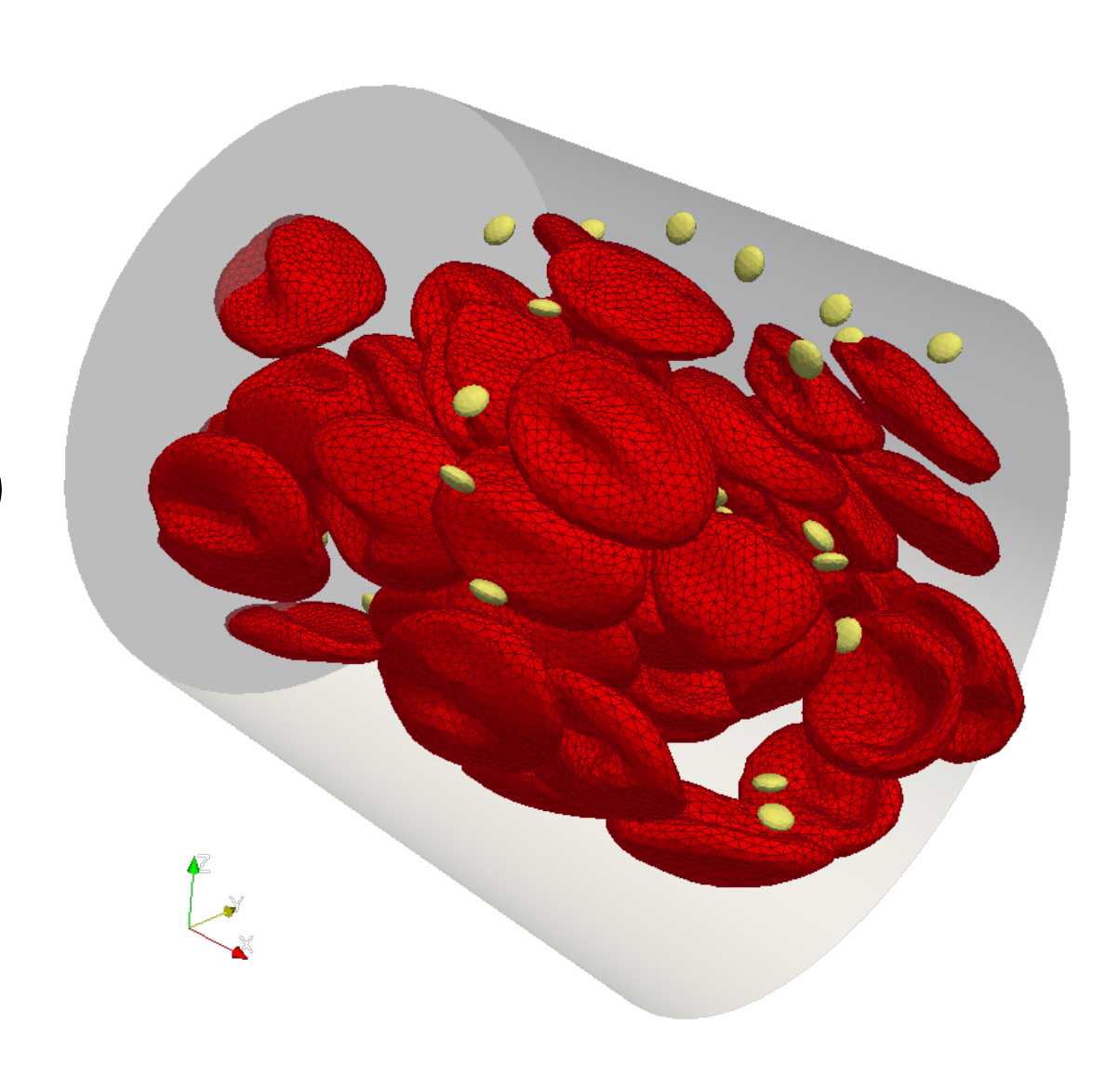
Platelets/monocytes (green), ULVWF
Popa et al // PNAS (2018) 115: E5556–E5565

### Молекулы клеточной адгезии



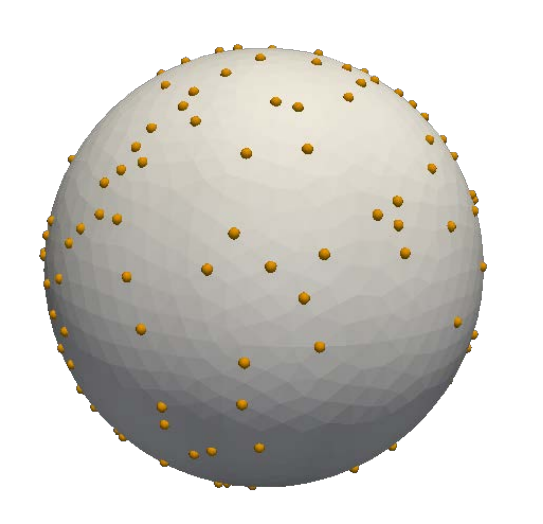
### Модель

- 3D компьютерная симуляция на клеточном масштабе (с явным учетом белков VWF и рецепторов GPIb).
- Континуальная жидкость (Lattice Boltzmann)
- Поток Пуазейля с постоянной разностью давлений.
- Деформируемые нейтрофилы.
- Реалистичная форма и динамика тромбоцитов.
- Учет механической активации VWF.

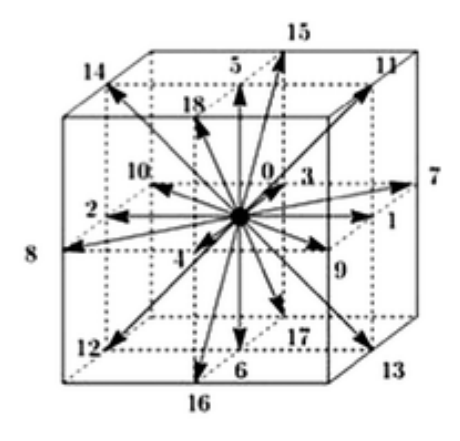


#### Компьютерная модель





#### Динамика жидкости



$$\frac{\partial f}{\partial t} + \mathbf{v} \cdot \nabla f + \frac{\mathbf{F}}{m} \cdot \nabla_{\mathbf{v}} f = -\frac{f - f_0}{\tau}$$

#### Lattice Boltzmann

Succi (2001). The Lattice Boltzmann Equation for fluid dynamics and beyond. Clarendon Press.

#### Динамика частиц

$$\frac{d\mathbf{v}}{dt} = \frac{(\mathbf{F}_{\text{elast}} + \mathbf{F}_{\text{int}} + \mathbf{F}_{\text{visc}})}{m}, \quad \frac{d\mathbf{r}}{dt} = \mathbf{v}$$

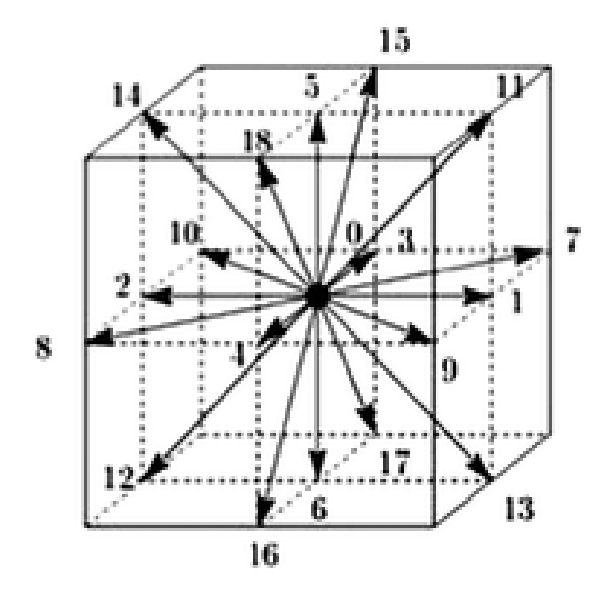
Потенциалы для взаимодействий между частицами (связанные и несвязанные).

Сила вязкого трения для связи жидкости и частиц.

Dunweg & Ladd. (2008). Lattice Boltzmann simulations of soft matter systems

#### Lattice Boltzmann

$$\frac{\partial f}{\partial t} + \mathbf{v} \cdot \nabla f + \frac{\mathbf{F}}{m} \cdot \nabla_{\mathbf{v}} f = -\frac{f - f^{\text{eq}}}{\tau}.$$



$$\rho = \int f d\mathbf{v}, \ \rho \mathbf{u} = \int f \mathbf{v} d\mathbf{v}.$$

#### Дискретный аналог:

$$f_i(\mathbf{x}+\mathbf{c}_i\Delta t,t+\Delta t)-f_i(\mathbf{x},t)=-\frac{\Delta t}{\tau}\left[f_i(\mathbf{x},t)-f_i^{\rm eq}(\mathbf{x},t)\right]+\Delta t\cdot F_i(\mathbf{x},t)+\chi_i(\mathbf{x},t),$$

$$F_i(\mathbf{x},t) = \left(1 - \frac{\Delta t}{2\tau}\right) w_i \left[\frac{\mathbf{c}_i - \mathbf{u}}{c_s^2} + \frac{\mathbf{c}_i \cdot \mathbf{u}}{c_s^4} \mathbf{c}_i\right] \cdot \mathbf{F},$$

D3Q19

$$\nu = c_s^2 (\tau - \Delta t/2)$$

Схема расчетов:

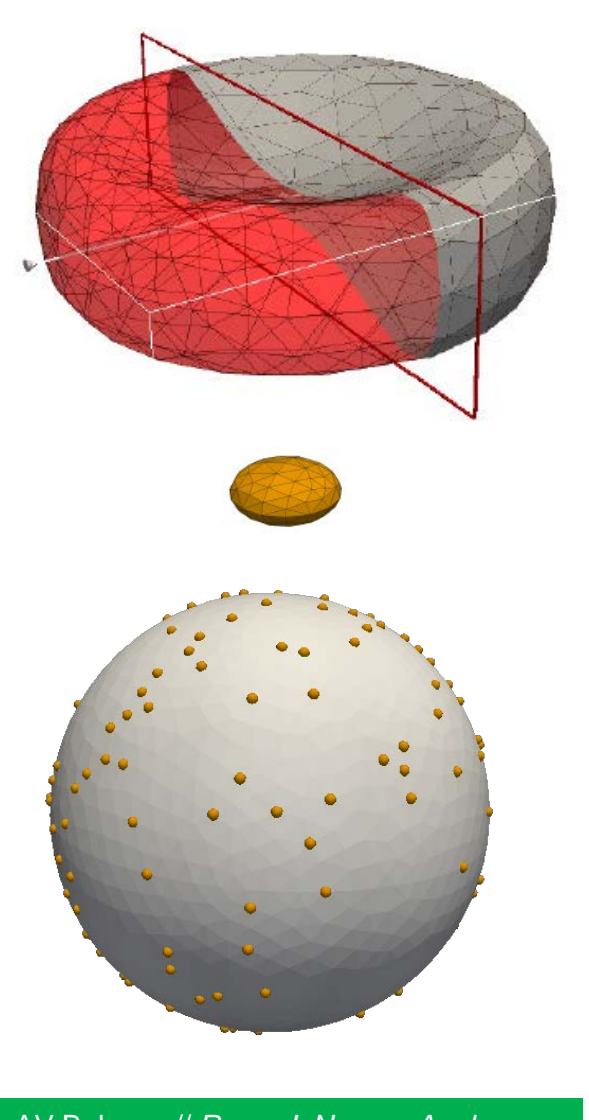
Succi, Sauro (2001). The Lattice Boltzmann Equation for fluid dynamics and beyond. Clarendon Press.

$$\widetilde{f}_{i}(\mathbf{x}, t + \Delta t) = f_{i}(\mathbf{x}, t) - \frac{\Delta t}{\tau} [f_{i}(\mathbf{x}, t) - f_{i}^{eq}(\mathbf{x}, t)] + \Delta t \cdot F_{i}(\mathbf{x}, t) + \chi_{i}(\mathbf{x}, t)$$

$$f_{i}(\mathbf{x} + \mathbf{c}_{i} \Delta t, t + \Delta t) = \widetilde{f}_{i}(\mathbf{x}, t + \Delta t).$$

$$\rho \mathbf{u} = \Sigma_{i} \mathbf{c}_{i} f_{i} + 0.5 \cdot \Delta t \cdot \mathbf{F}$$

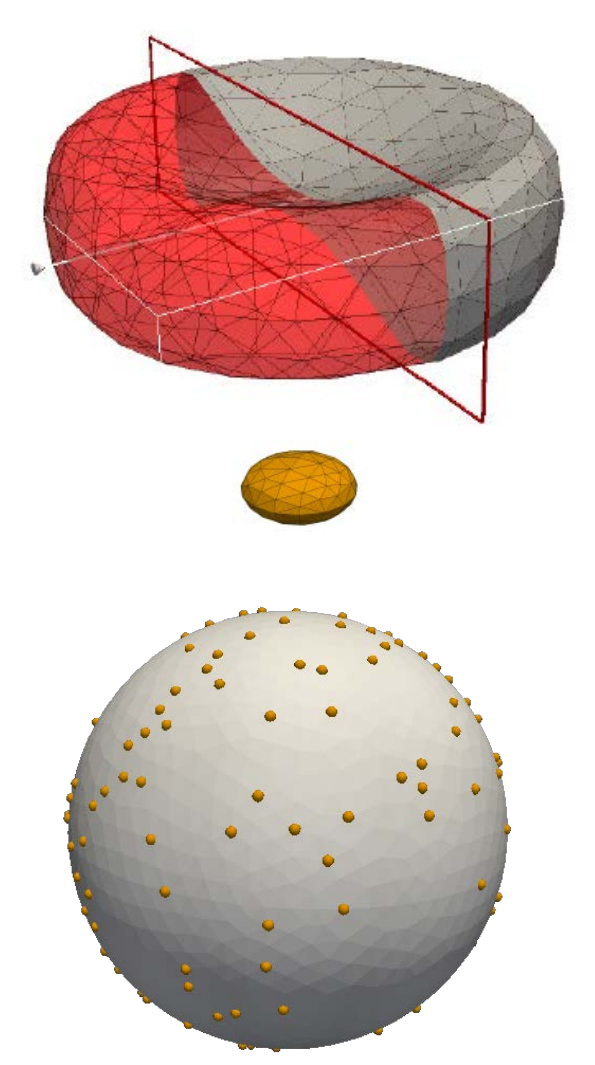
# Модель мембран клеток



$$\frac{d\mathbf{v}}{dt} = \frac{(\mathbf{F}_{elast}) + \mathbf{F}_{int} + \mathbf{F}_{visc}}{m}, \quad \frac{d\mathbf{r}}{dt} = \mathbf{v}$$

$$\mathbf{F}_{ ext{elast}} = \mathbf{F}_{ ext{S}} + \mathbf{F}_{ ext{b}} + \mathbf{F}_{ ext{a}} + \mathbf{F}_{ ext{V}}$$
 Растяжение  $\mathbf{F}_{ ext{S}} = \frac{k_{ ext{S}} \Delta l}{1 - \left(\frac{\Delta l}{\Delta l_{ ext{max}}}\right)^2} \mathbf{n}$  Изгиб  $\mathbf{F}_{ ext{b}} = k_{ ext{b}} (\vartheta - \vartheta_0) \mathbf{n}_{ ext{b}}$  Сохранение  $\mathbf{F}_{ ext{a}} = -k_{ ext{al}} \frac{\Delta S_i}{(S_i^0)^{1/2}} \mathbf{w} - k_{ ext{ag}} \frac{\Delta S_{ ext{g}}}{S_{ ext{g}}^0} \mathbf{w}$  Сохранение объема  $\mathbf{F}_{ ext{V}} = -k_{ ext{V}} \frac{\Delta V}{V_0} S_i \mathbf{n}_{ ext{b}}$ .

## Модель мембран клеток



$$\frac{d\mathbf{v}}{dt} = \frac{(\mathbf{F}_{\text{elast}} + \mathbf{F}_{\text{int}}) + \mathbf{F}_{\text{visc}}}{m}, \quad \frac{d\mathbf{r}}{dt} = \mathbf{v}$$

$$\mathbf{F}_{\text{int}} = -\nabla U$$

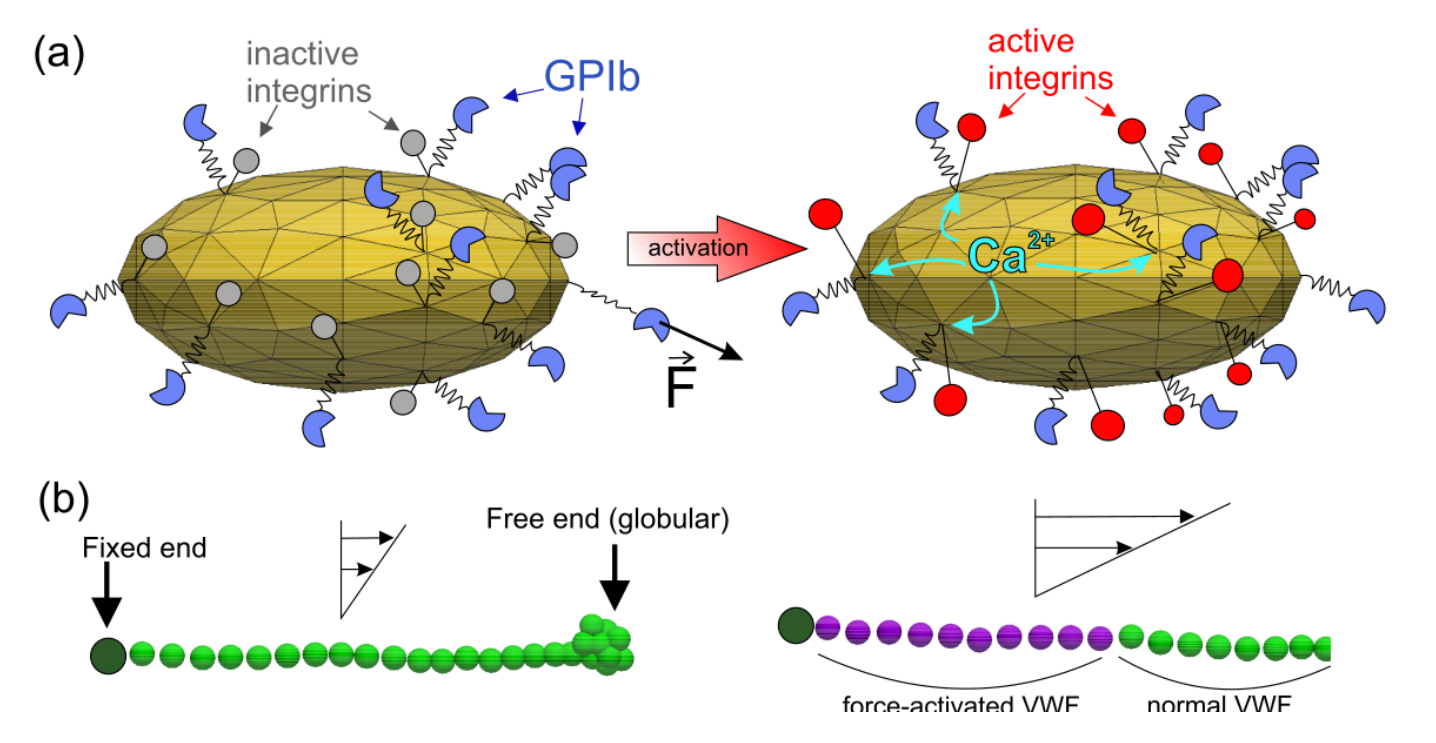
$$U_{\text{LJ}}^{\text{self}}(r) = 4\varepsilon_{\text{self}} \left[ \left( \frac{\sigma_{\text{self}}}{r} \right)^{12} - \left( \frac{\sigma_{\text{self}}}{r} \right)^{6} \right] + U_{\text{shift}}^{\text{self}}, \quad r \leqslant r_{\text{cut}}^{\text{self}}$$

$$U_{\text{rep}}^{i,j}(r) = \frac{B_{i,j}}{(r + r_{\text{off}}^{i,j})^{n}}, \quad r < r_{\text{cut}}^{i,j}.$$

$$\mathbf{F}_{\text{visc}} = -\xi_i \left[ \mathbf{v}_i - \mathbf{u}(\mathbf{r}, t) \right]$$

#### Модель адгезионных взаимодействий

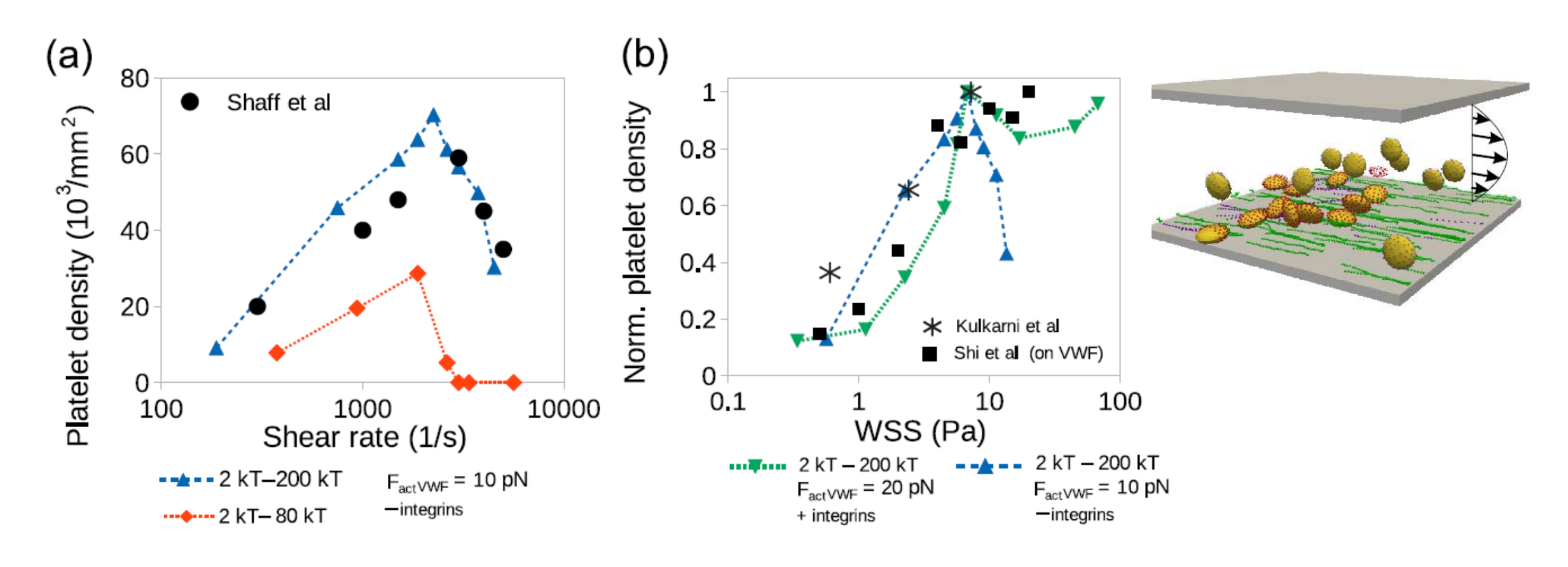
$$U_i^s(r) = A_i^s \cdot \left[ \{1 - e^{-\alpha(r - r_{\min})}\}^2 - 1 \right]$$



Type 1	Type 2	$A_i^s$	$\alpha$	$r_{ m min}$	$r_{ m cut}$
GPIb GPIb inact. $\alpha_{\text{IIb}}\beta_3$ act. $\alpha_{\text{IIb}}\beta_3$ GPIb	inact. VWF act. VWF any VWF any VWF act. $\alpha_{\text{IIb}}\beta_3$ any $\alpha_{\text{IIb}}\beta_3$	$A_{ m GPIb}^{na}$ $A_{ m GPIb}^{act}$ $0$ $A_{ m int}$ $A_{ m int}^{ m self}$ $0$	100 100 - 100 100	2a 2a - 2a 2a -	3a 3a - 3a 3a -
GPIb	GPIb	U	-	-	-

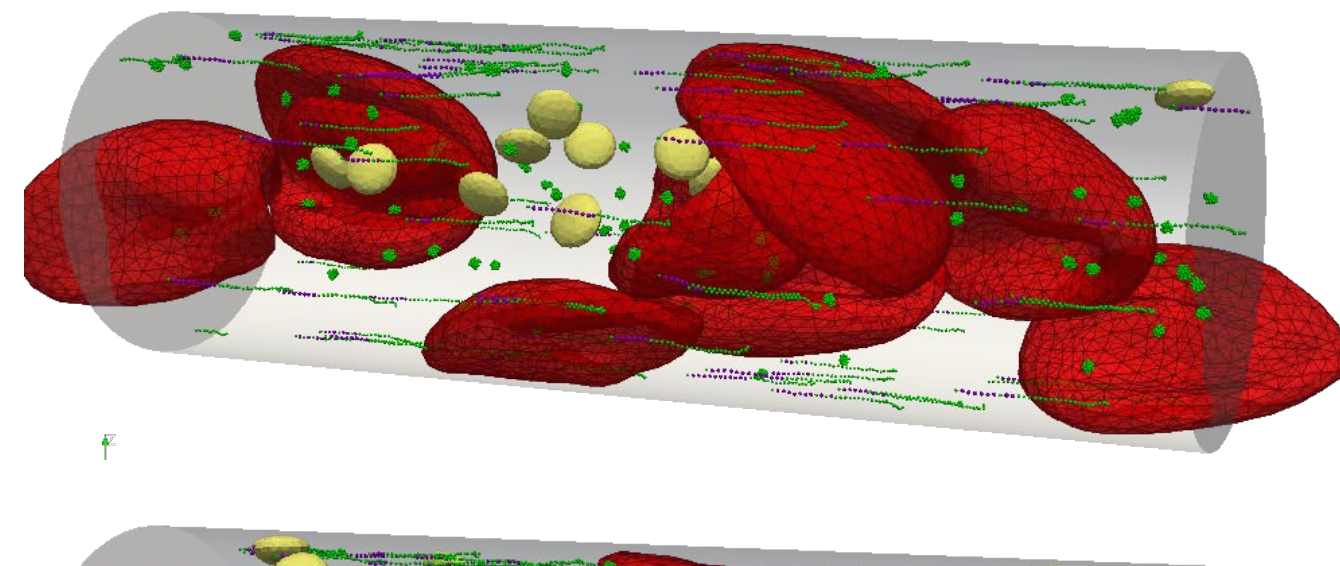
Belyaev & Kushchenko // Biomech Mod Mech Biol (2023)

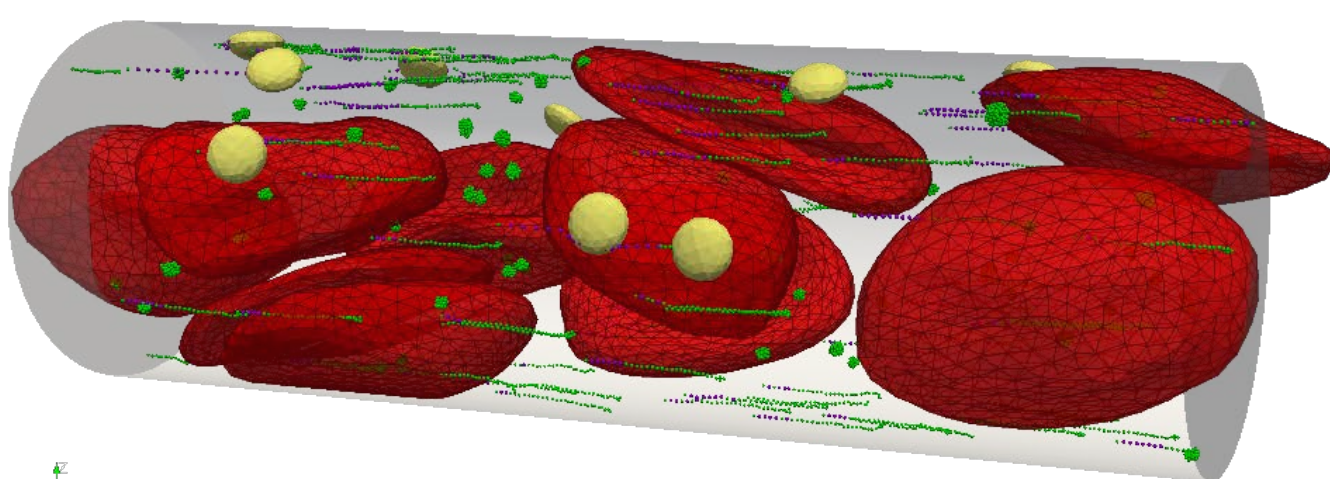
#### Проверка модели: адгезия тромбоцитов

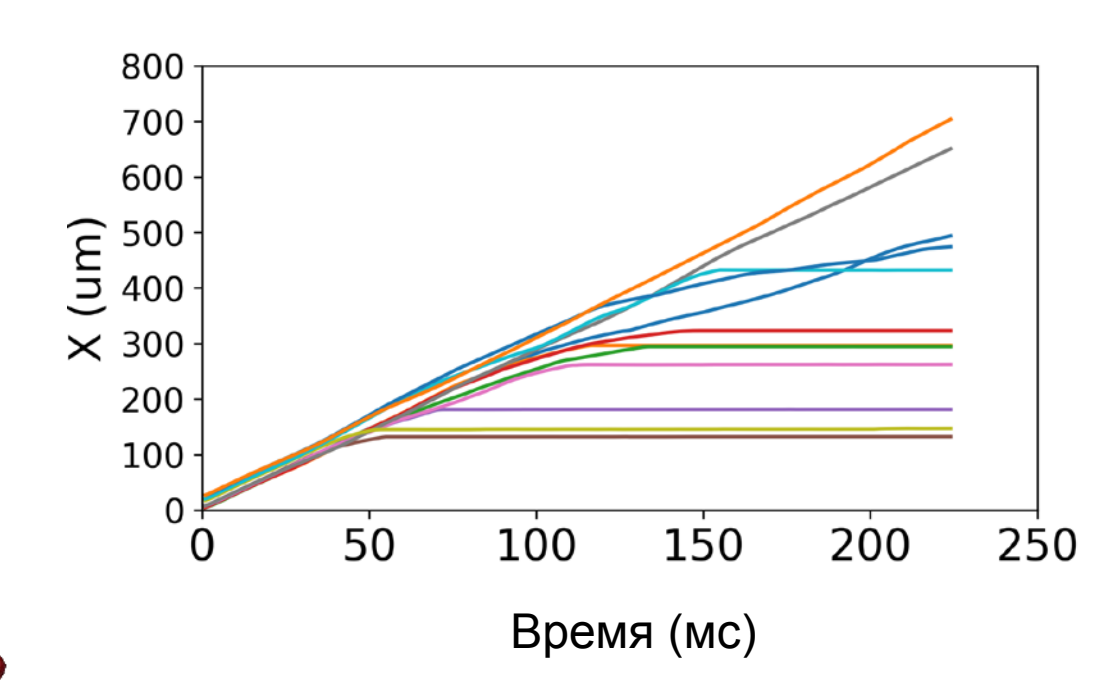


Модель удовлетворительно описывает немонотонную зависимость количества прикрепленных тромбоцитов от скорости/напряжения сдвига

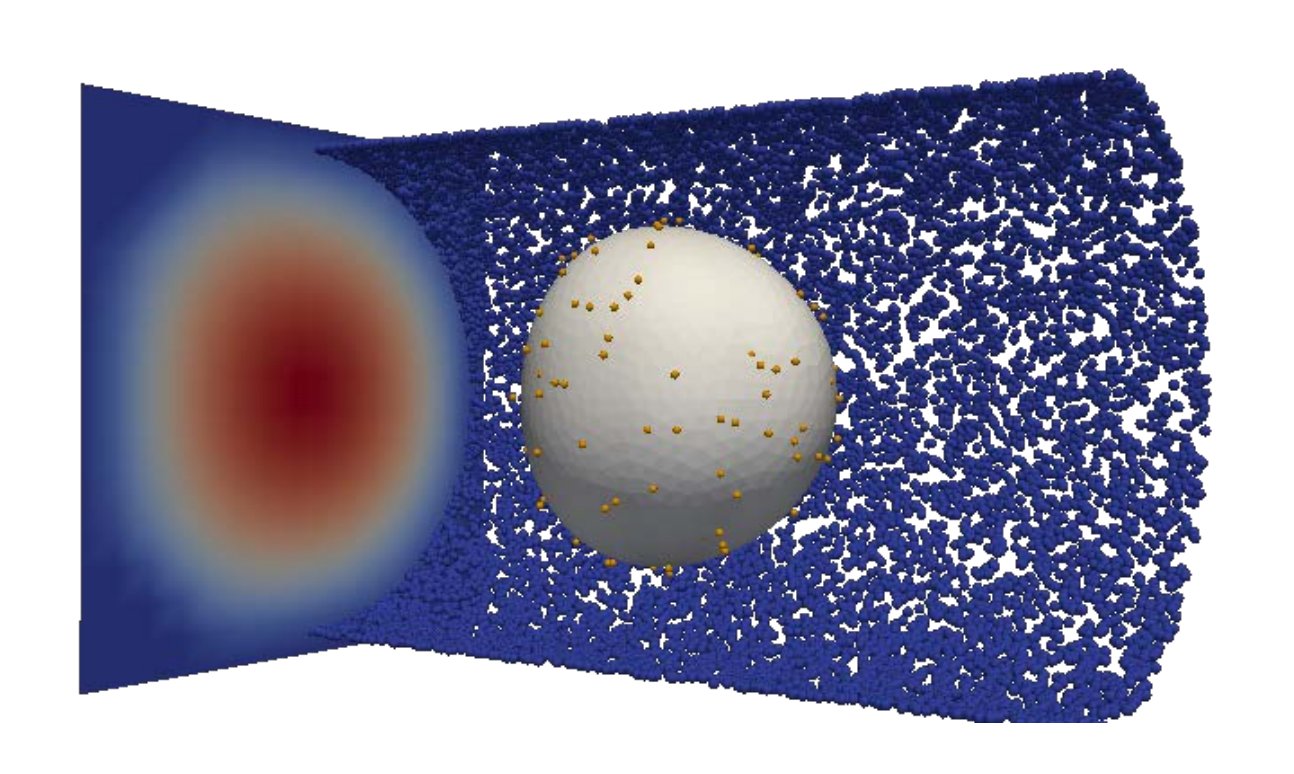
#### Адгезия тромбоцитов в присутствии эритроцитов

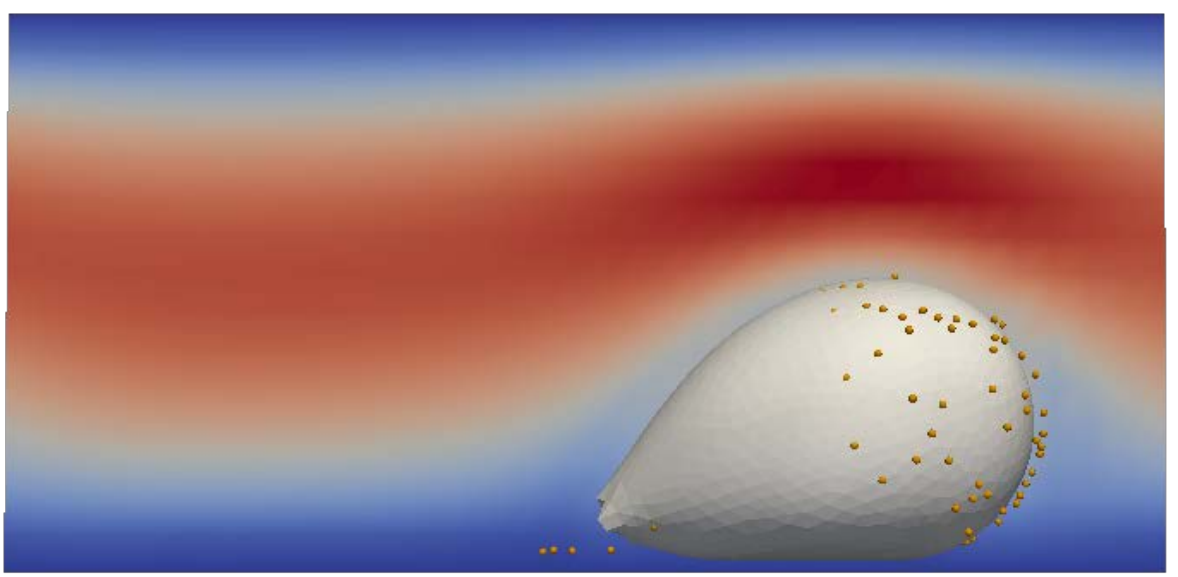




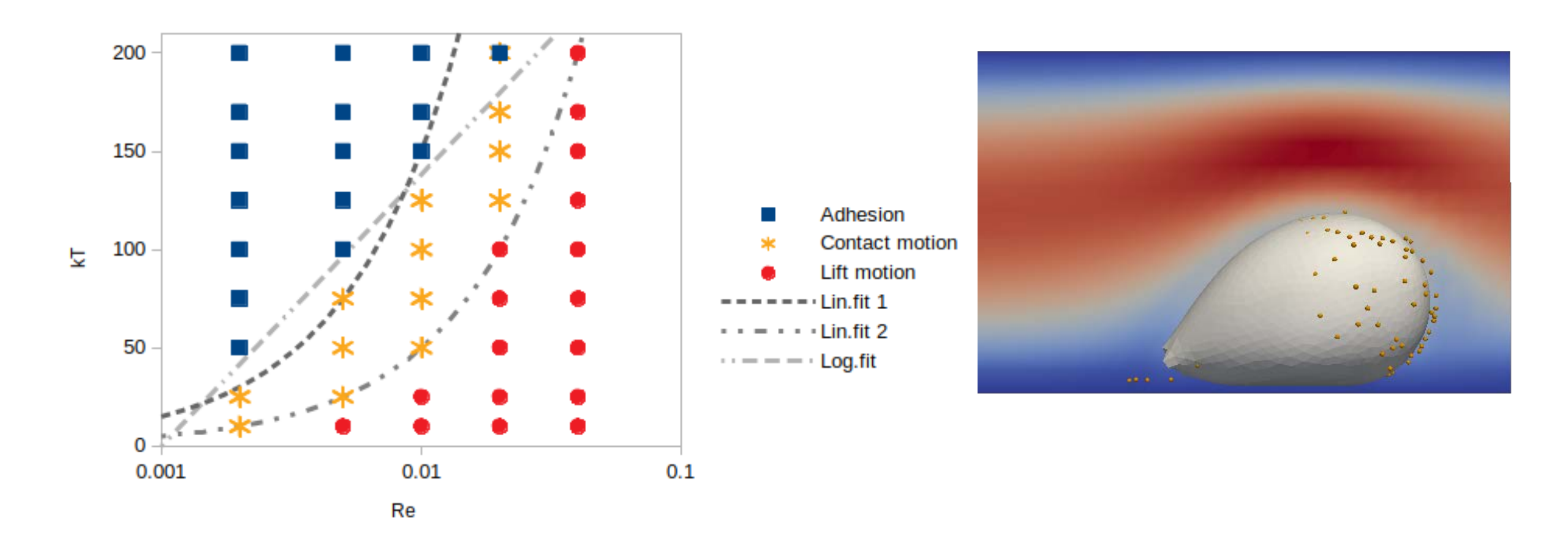


# Адгезия нейтрофила к Р-селектину

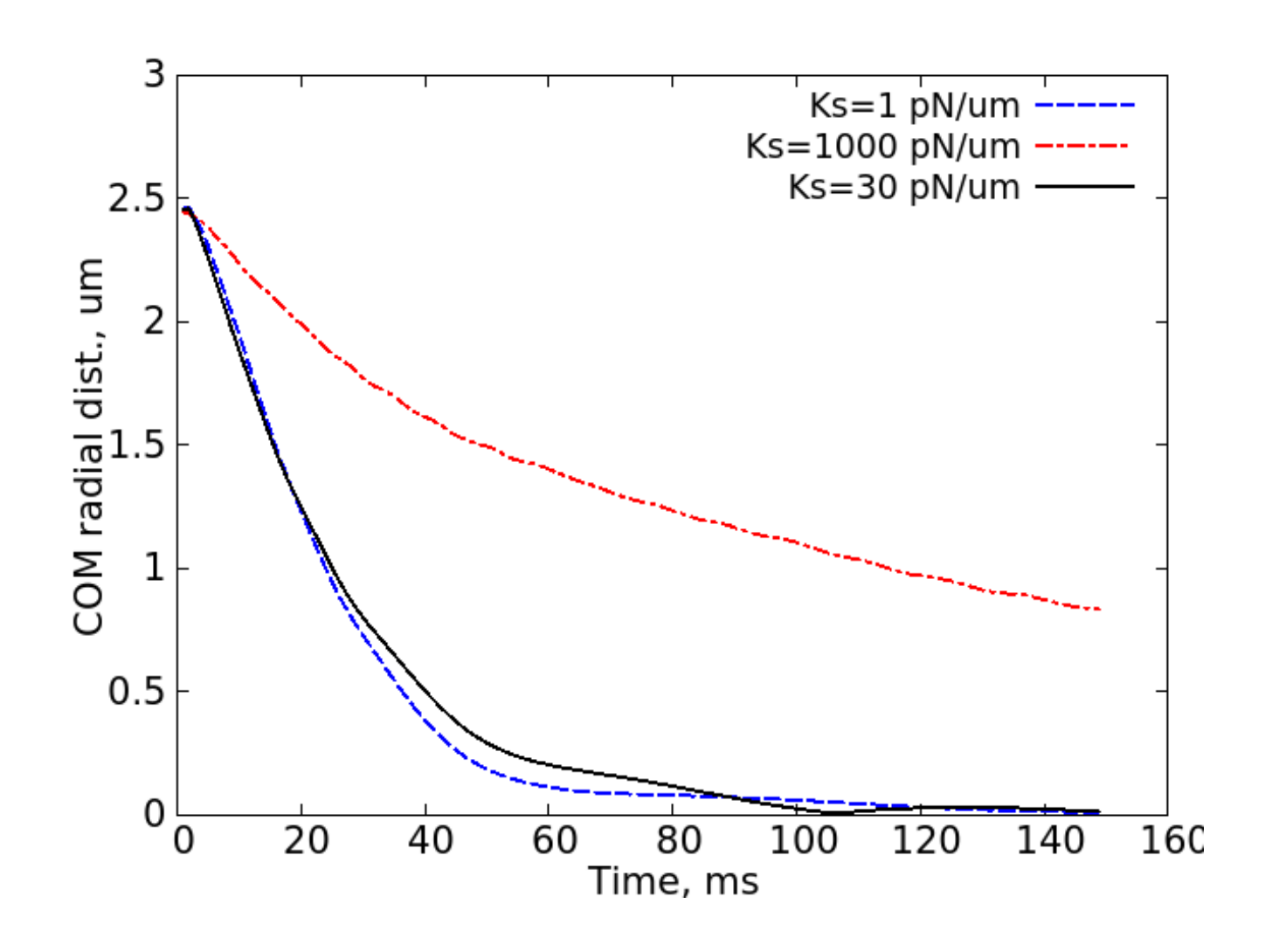




# Адгезия нейтрофила к Р-селектину



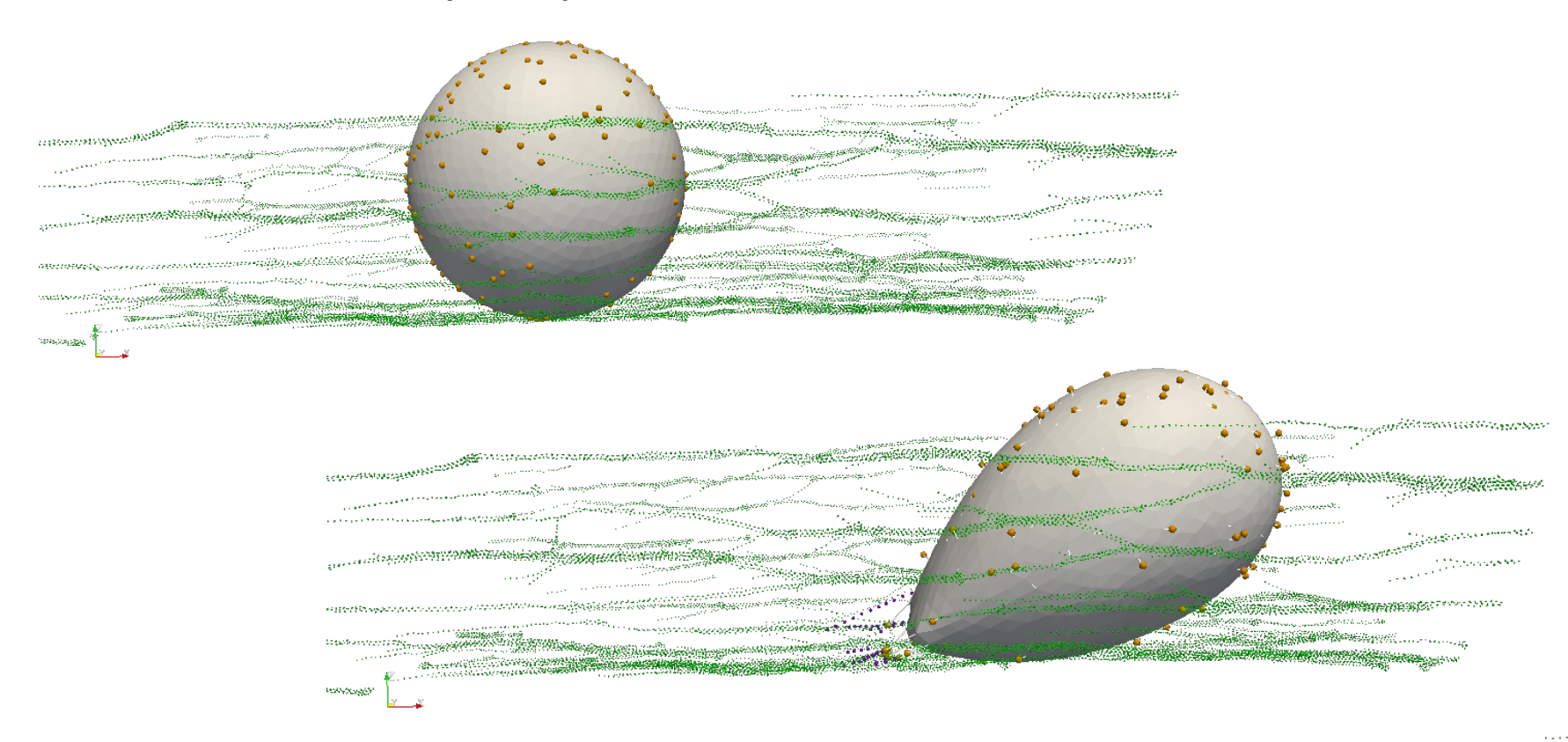
#### Подъемная сила вблизи стенки

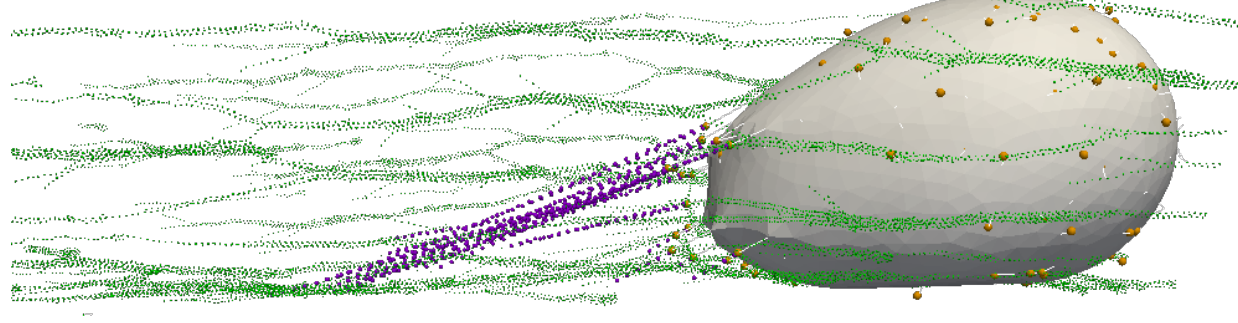


Нейтрофил отталкивается от стенки в присутствии сдвигового потока жидкости

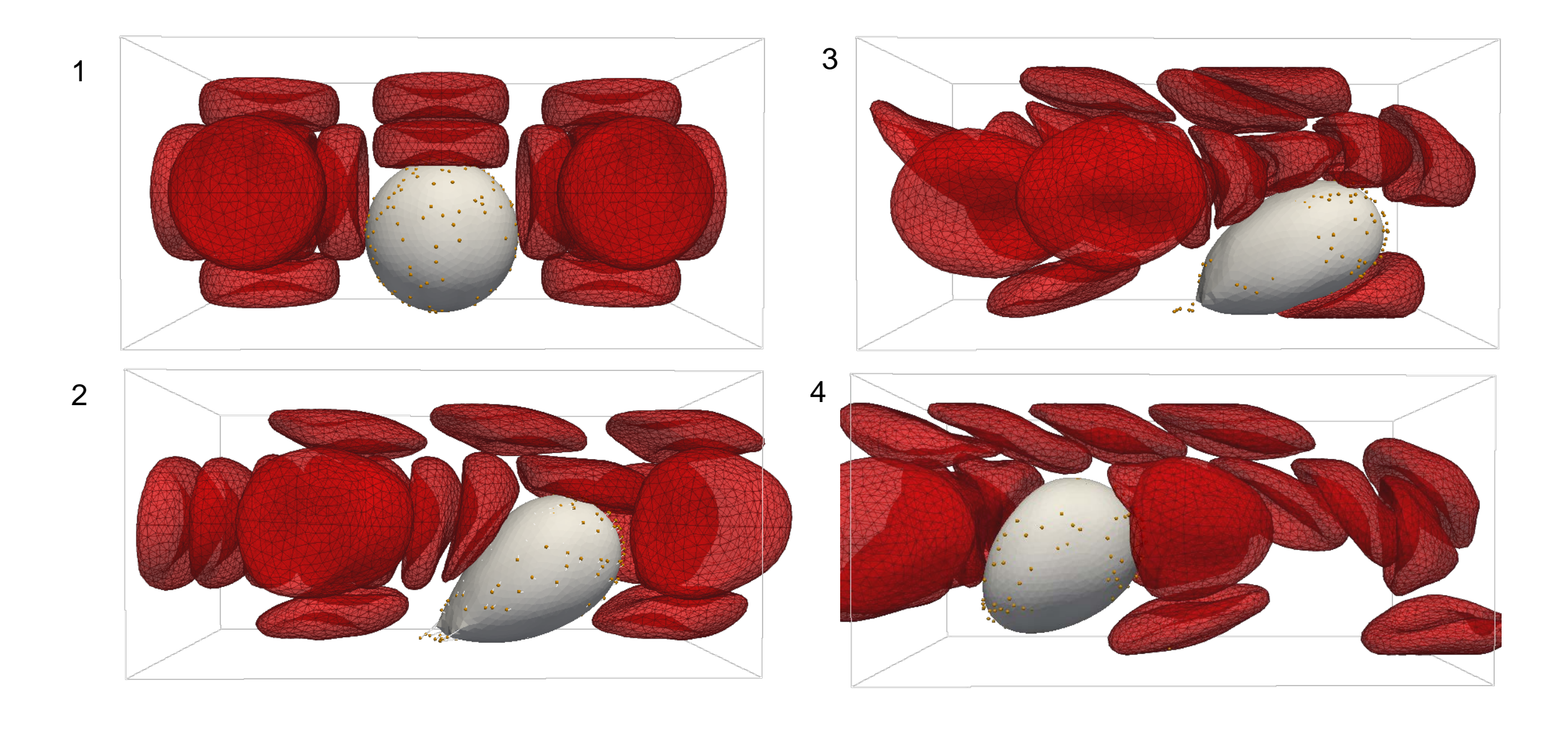
Эффект зависит от жесткости мембраны и деформируемости клетки

# Адгезия нейтрофила к VWF





# Адгезия нейтрофила в присутствии эритроцитов



#### Результаты и выводы

- 1. Траектория нейтрофила определяется балансом сил адгезии, сил упругости, силами вязкого трения и гидродинамической подъемной силой.
- 2. В отсутствие адгезии и эритроцитов нейтрофил в модели стремится подняться от стенки сосуда к центру.
- 3. Построена карта режимов адгезии нейтрофила для различных энергий адгезионного взаимодействия и гидродинамических условий.
- 4. Эластичность и растяжимость рецепторов и лигандов существенно важна для стабильной адгезии.
- 5. Эритроциты не всегда способствуют вытеснению (маргинации) нейтрофилов к стенке: при высоком гематокрите случайные столкновения в пристеночном слое способствуют отрыву нейтрофилов от стенки.

#### Благодарю за внимание





